

台灣地區颱風預報作業現況與展望

林秀雯 吳德榮

氣象預報中心

中央氣象局

摘要

颱風是台灣地區最大的氣象災害產生者，颱風預報也是中央氣象局最重要的預報業務之一。颱風預報不外乎（一）準確的路徑預報（二）精確的預報台灣各地風雨狀況。本文將敘述中央氣象預報中心之作業現況，從颱風定位一直到警報發布之過程，至於如何縮小颱風之預報誤差，本文亦指出未來努力的方向。

一、前言

颱風是台灣地區四大天然災害之首，其所帶來之財務損失平均每年達百億元台幣之譜，然而準確的颱風預報、及時的預警以及萬全的準備，是可以減少人命損害及財產損失。不過，由於先天之限制，例如洋面上觀測資料之不足，颱風之結構及環境大氣皆無法精確的解析，因此無論主觀或客觀之預報，皆有相當程度的誤差存在。過去三十年來由於氣象界之努力，包括學術及實作方面，已使得颱風路徑預報的準確度有所提昇（圖1及表1），但是距離精準之預報仍有相當大的空間可以改進。利用衛星遙測技術或Aerosonde等，皆是試圖在觀測資料缺乏地區取得正確的氣象訊息，此外，配合動力模式之改進，相信將可以大幅提昇颱風預報之準確度。以下將就台灣地區颱風警報作業現況及本未來發展提出報告。

利用地面觀測及船艦觀測資料定位，尤其在颱風結構尚差時，並可用來檢查衛星定位之可信度，其方法有距離交叉法、圖形等壓線中心定位法、氣流流進度法。

（3）雷達定位

當颱風進入雷達觀測範圍，中央氣象局雷達站提供颱風中心之位置、定位準確度、移動方向及速度等資訊，氣象預報中心亦收集其他地區（關島、日本及大陸地區等）雷達之觀測電碼（FFAA），作為定位之參考。

原則上，不同觀測來源所定之位置常不相同，即使同一影像資料，不同作業中心亦常有不同之定位，預報中心依據其可信度給予不同權重，配合傳統地面分析定位加以檢查，並比較定位之初估值（預報外延），而訂出颱風之位置。

2. 颱風強度及暴風範圍估計

（1）衛星估計（Dvorak 1972, Dvorak 1975）

除中央氣象局衛星中心外，同樣的收集其他地區所提供之訊息，如關島、日本等。依據衛星估計之T-no及CI-no來估計颱風中心之最大風速及最低氣壓（表2）。

（2）地面圖分析估計

當颱風中心附近有觀測資料，則可用來檢查衛星之強度估計，並利用地面觀測及船艦觀測資料，估計颱風之暴風範圍。

（3）雷達估計

當颱風進入雷達觀測範圍，利用都卜勒雷達之風場觀測資料，可顯示颱風中心附近風速的大小及風場結構，作為估計颱風強度及暴風範圍之有效工具。

3. 颱風路徑預報

對於颱風之運動，基本上，先求掌握最主要之駛流，再

二、台灣地區颱風預報作業現況

（一）路徑及強度預報

路徑及強度預報為颱風預報為最重要之一環，路徑及強度預報之準確與否，亦影響台灣地區風雨之預報結果，也直接對防災作業造成影響。

1. 颱風中心定位

（1）衛星定位

中央氣象局氣象衛星中心採用Dvorak technique (Dvorak 1972, Dvorak 1975)，提供預報中心颱風之中心位置、定位準確度、強度等資料。此外預報中心亦收集關島、日本等作業中心衛星定位之資料，作為定位之參考。

（2）地面圖分析定位

逐步考慮次要之影響因素，以決定未來之路徑。

- (1) 平均氣流場分析，包括觀測及預報資料，以掌握環境氣流之變化。
- (2) 鄰近天氣系統之變化(Adjacent trough 或 Multiple TC 等)。
- (3) Cliper 等統計預報之應用。
- (4) TFS 等動力模式之應用（圖2）。
- (5) 颱風環流及台灣地形之交互作用（王1992，葉1994，一等）。
- (6) 各種變差圖之應用。

4. 颱風強度預報

- (1) 動力模式所顯示之趨勢。
- (2) 衛星強度預估之趨勢。
- (3) 海溫、氣候及地理位置等之結合考慮。

(二) 各地風雨預報

颱風影響台灣期間，各地區之風雨預報主要參考動力及統計兩種方法。

1. 動力模式之預報

中央氣象局區域預報模式(NFS)、中尺度預報模式(MM5)及其他作業中心數值模式之預報，如果其路徑預報與主觀預報結果相近時，則其地面風雨預報結果可作為定性之參考。

2. 類型法 (Pattern recognition)

由於台灣地形複雜，各地風雨的分佈常有很大差異，但是目前動力模式尚無法很精確萬擬出降雨量及強風，因此因此採用類型法，尋找過去類似季節、強度、行徑的颱風個案，分析其所造成之風雨狀況特性，不失為很好的參考。目前中央氣象局已建立過去侵台颱風之資料庫，可迅速比對颱風路徑、強度及顯示各氣象站所發生之風雨，可作為風雨預報之參考（表3、表4）。

(三) 颱風作業系統

1. 颱風作業輔助決策系統

從衛星、雷達等資料收集、定位、路徑預報等皆可在此系統上作業，並可顯示各種客觀及主觀預報結果，比較並校驗之，可節省作業決策時間。

2. 颱風作業編輯系統

可自颱風作業輔助決策系統取得颱風基本資料，自動編輯成文字，至於動態及警戒注意事項，則才需預報人員加以編輯。

(四) 警報之發布

1. 在西北太平洋上熱帶性低氣壓強度以上之熱帶系統，即開始監視並於天氣概況中每六小時發布一次。
2. 台灣地區發布颱風警報之類別與時機

(1) 海上颱風警報（圖3）

預測廿四小時內，颱風的暴風（七級風）範圍可能侵襲台灣及金門、馬祖一百公里內海或時，即發布海上颱風警報，以後每隔三小時發布一次。

(2) 海上陸上颱風警報（圖4）

預測十八小時內，颱風的暴風（七級風）範圍可能侵襲台灣及金門、馬祖陸上時，即發布海上陸上颱風警報，以後每隔三小時發布一次，並每小時加發最新位置。

(3) 解除颱風警報

颱風的暴風（七級風）範圍離開台灣及金門、馬祖陸上時，即改發海上颱風警報，暴風（七級風）範圍離開台灣及金門、馬祖近海時，及發布解除颱風警報。如颱風轉向或消滅時，也可直接發布解除颱風警報。

3. 颱風強度之劃分

(1) 輕度颱風

颱風中心附近最大風速介於 17.2 至 32.6m/s。

(2) 中度颱風

颱風中心附近最大風速介於 32.7 至 50.9m/s。

(3) 強烈颱風

颱風中心附近最大風速達 51.0m/s 以上。

(五) 預報及警報作業流程

中央氣象局發布颱風警報時，臨時成立工作小組，負責颱風資料蒐集、分析及研判颱風路徑及風雨預報，發布颱風警報之決策、製作及傳輸等工作。而預報決策內容主要是透過預報討論會的方式，共同討論，集思廣益，獲得結論。討論會中除了由各相關預報及分析人員分別報告實際天氣概況、衛星雲圖分析，瞭解大氣之演變過程及目前實際天氣狀況與特性之外，並校驗比較不同客觀的數值天氣預報模式產品，詳加討論，得出一共同的結論。在颱風警報期間，每日定期舉行四次預報討論會，並利用電腦輔助決策系統，將討論結果定出颱風預報路徑及位置，作為颱風警報和各地風雨預測的依據。

三、未來展望

(一) 衛星資料之應用

衛星觀測時間密度增加，自 1 小時縮小為半小時，對於定位、路徑預測皆有幫助。此外，衛星風場估計亦提供颱風結構分析之參考。

(二) Aerosonde 之應用

提供颱風定位及結構之觀測，並可改進動力模式之初始資

料，對於預報結果之改進應可預期。

(三) Doppler 雷達網之建立

環台灣地區的雷達網完成後，涵蓋全台灣地區及鄰近海域，對於颱風之位置、動向皆能清楚顯示，對於其未來動向將能更準確預報。

(四) 全自動編輯系統建立

可更縮短作業時間，迅速將訊息發布給大眾，以爭取更多時間採取防範措施。

(五) 四維同化之技術發展

將非傳統之觀測資料，透過資料同化技術之發展，皆能納入模式之分析及預報過程，將能改善目前模式於西太平洋初始資料不足的缺點，應可大幅改進颱風預報模式的結果。

(六) 數值模式之改進

提高模式解析度、改進颱風初始化結構及模式物理參數化方法，提高數值模式預報模式之準確率。此外，發展中小尺度預報模式，作為風雨預報之參考。

參考文獻

王時鼎, 1992 : 侵台颱風路徑、強度、結構及風雨整合研究。

國科會防災科技研究報告, 80-73 號, 285 頁。

葉天降, 1994 : 台灣山脈對北進颱風路徑及結構之影響。國科會專題研究計畫成果報告，
NSC83-0202-M052-005。

Dvorak,V.F., 1972 : A technique for the analysis and forecasting of tropical cyclone intensities from satellite pictures.

NOAA Tech. Memo. NESS 36, Dept. of Comm. 15pp.

Dvorak,V.F., 1975 : Tropical cyclone intensity analysis and forecasting from satellite imagery. Mon. Wea. Rev. , 103,420-430.

Yeh,T-C and R.L. Elsberry, 1993 : Interaction of typhoons with Taiwan Orography. Part I : Upstream track deflections. Mon. Wea. Rev. , 121,3193-3212.

Yeh,T-C and R.L. Elsberry, 1993 : Interaction of typhoons with Taiwan Orography. Part II : Continuous and continuous tracks across the island. Mon. Wea. Rev. , 121,3213-3233

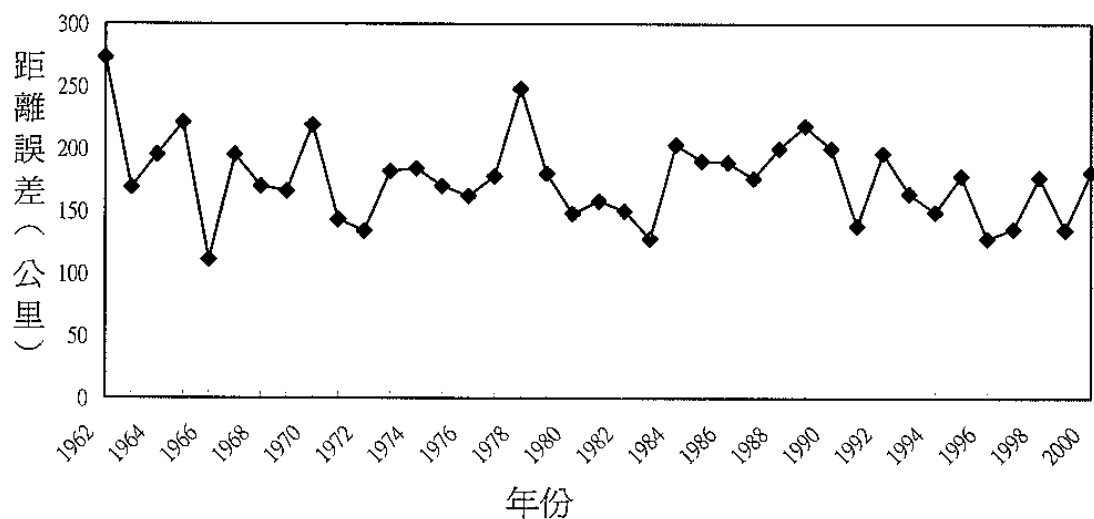


圖1 1962至2000年颱風24小時預測路徑平均距離誤差

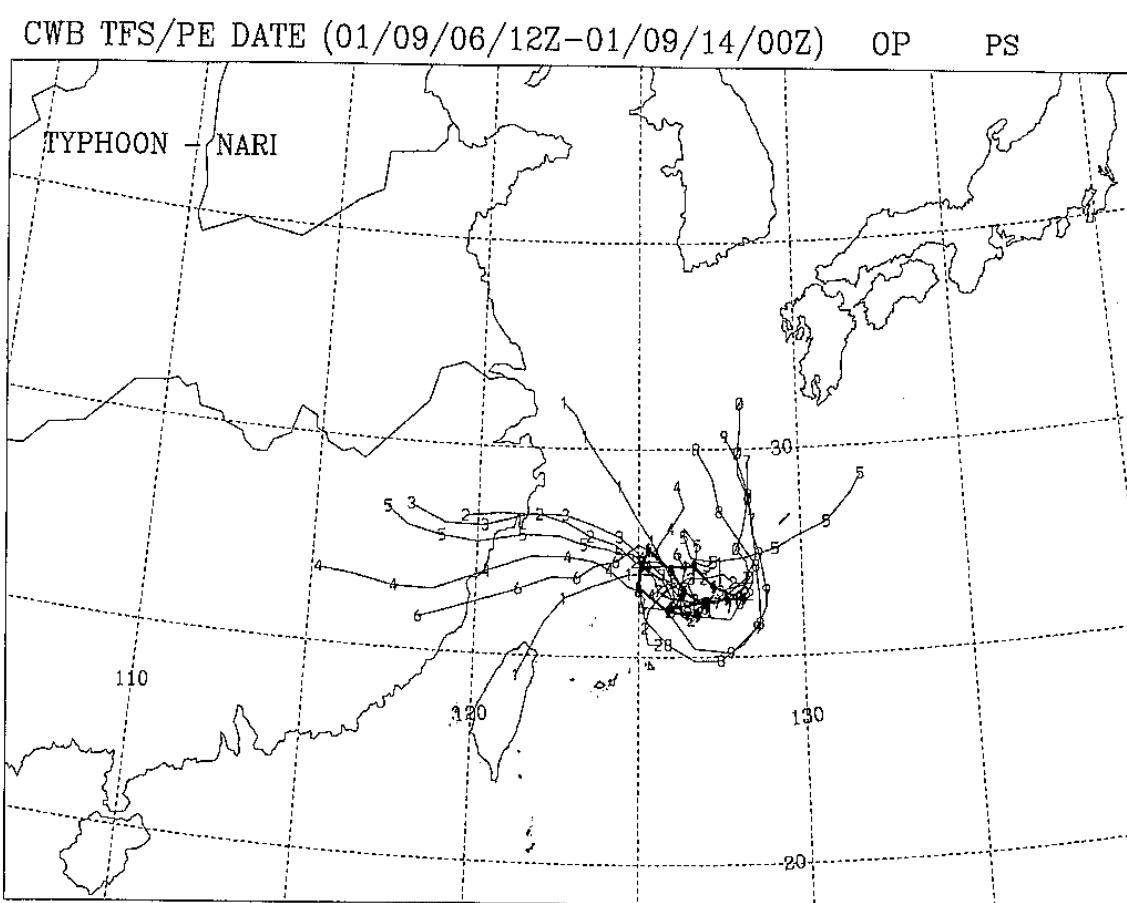


圖2 中央氣象局颱風動力模式（TFS）預報圖

年份	平均距離偏差(公里)
1970-1979	180
1980-1989	176
1990-1999	164

表1 豐風24小時預測路徑每十年平均距離偏差

CI-no.	關島		日本	
	最大平均風速 (Kts)	最低海平面氣壓 (hPa)	最大平均風速 (Kts)	最低海平面氣壓 (hPa)
1	25		22	1005
1.5	25		29	1002
2	30	1000	36	998
2.5	35	997	43	993
3	45	991	50	987
3.5	55	984	57	981
4	65	976	64	973
4.5	77	966	71	965
5	90	954	78	956
5.5	102	941	85	947
6	115	927	93	937
6.5	127	914	100	926
7	140	898	107	914
7.5	155	879	115	901
8	170	858	122	888

表2 CI值與颱風中心最大風速與海平面氣壓之關係

九十年第十六號颱風警報期間區域風力預測

中央氣象局發布

發布時間：90年9月17日05時00分

分區		台北市		台北桃園地區		基隆地區		宜蘭地區		花蓮地區		新竹苗栗地區		台中彰化地區		南投地區		雲林嘉義地區		台東地區	
時	間	平均風力	最大陣風	平均風力	最大陣風	平均風力	最大陣風	平均風力	最大陣風	平均風力	最大陣風	平均風力	最大陣風	平均風力	最大陣風	平均風力	最大陣風	平均風力	最大陣風	平均風力	最大陣風
17	17	今 日	5	8	6	9	6	9	6	9	5	8	6	9	5	9	4	7	4	8	4
06	至	12	上 午	1	—	—	—	1	—	—	—	—	—	—	—	—	—	—	—	—	7
17	17	今 日	6	10	7	10	7	10	7	10	6	7	10	6	10	5	8	5	9	5	—
12	至	18	下 午	4	7	5	8	5	8	5	8	4	—	5	8	4	8	4	—	4	—
18	至	24	晚 間	1	—	—	—	1	—	—	—	—	—	7	—	—	—	7	—	8	5
17	17	今 日	5	8	6	9	6	9	6	9	5	6	9	5	9	5	—	5	—	—	5
18	至	24	晚 間	4	7	5	8	5	8	4	8	—	7	—	8	—	—	7	—	4	—
17	17	今 日	5	6	6	6	6	6	5	5	5	6	9	5	9	5	—	5	8	5	—
18	至	24	晚 間	—	—	—	—	—	—	—	—	—	—	—	—	—	—	—	—	—	—

下次預定發布時間：90年9月17日10時00分

表3 中央氣象局颱風警報期間警戒區域風力預報表

九十年第十六號颱風警報期間區域雨量預測

中央氣象局發布

發布時間：90年9月17日05時00分

分區		台北桃園地區		基隆地區		宜蘭地區		花蓮地區		新竹苗栗地區		台中彰化地區		南投地區		台東地區		雲林嘉義地區		台南高雄屏東地區		
雨量	平 地	總雨量 (公厘)	平 地	山 區																		
總雨量 (公厘)	平 地	300	300	—	—	300	—	150	250	—	200	200	—	200	50	—	150	100	—	—	—	—
總雨量 (公厘)	山 區	400	400	400	400	200	350	350	250	250	250	100	200	200	100	—	—	150	200	300	200	—
總雨量 (公厘)	平 地	800	400	600	—	250	—	800	350	—	350	400	—	100	100	—	300	—	300	—	300	—
總雨量 (公厘)	山 區	1000	600	800	—	350	1000	1000	450	600	600	150	500	500	150	—	—	—	—	—	—	—

下次預定發布時間：90年9月17日10時00分

表4 中央氣象局颱風警報期間警戒區域雨量預報表

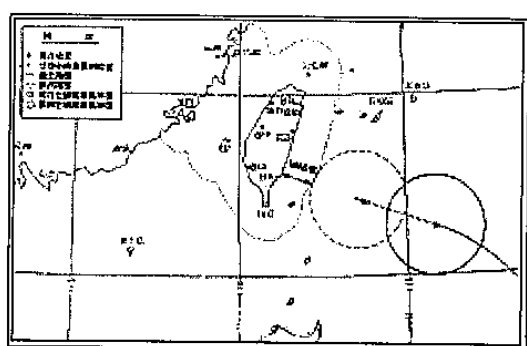


圖3 海上颱風警報發布標準示意圖

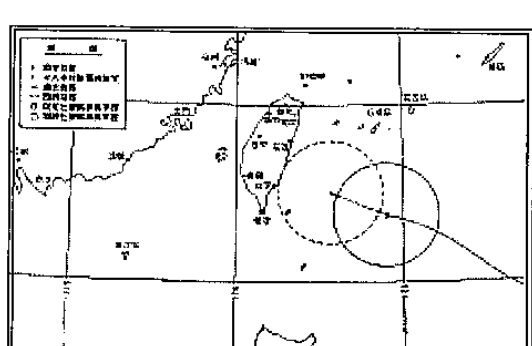


圖4 陸上颱風警報發布標準示意圖